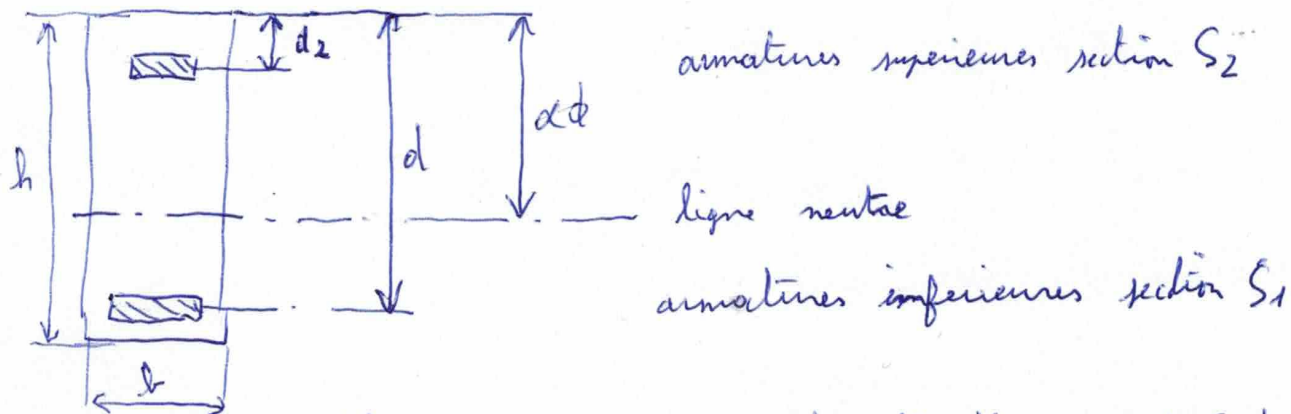


DETALI DES CALCULS POUTRE BETON

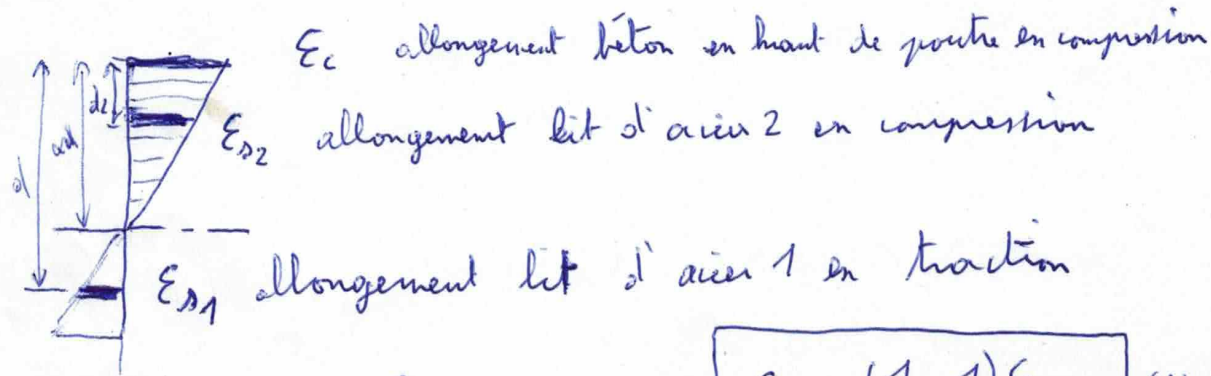
1

Caractéristiques géométriques poutre



Note: pour simplification on ne déduit pas la section d'acier comprimé dans la section de béton comprimée

Diagramme des déformations



$$\frac{E_c + \varepsilon_{s1}}{d} = \frac{E_c}{\alpha_d} = \frac{\varepsilon_{s2}}{\alpha_d - d_2}$$

$$\varepsilon_{s1} = \left(\frac{1}{\alpha} - 1 \right) \varepsilon_c \quad (1)$$

$$\varepsilon_{s2} = \left(1 - \frac{d_2}{\alpha d} \right) \varepsilon_c \quad (2)$$

Relations d'élasticité des matériaux

on suppose toujours rester en domaine élastique pour les aciers car la plastification n'apporte que peu de gain

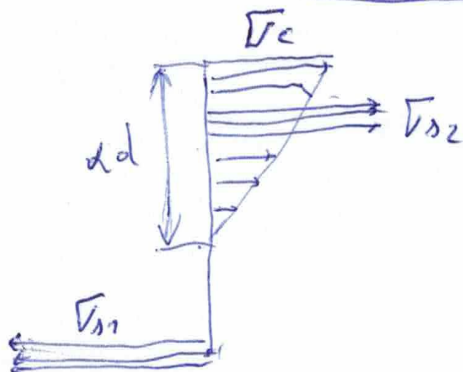
$$V_{s1} = E_s \varepsilon_{s1} \quad (3)$$

$$V_{s2} = E_s \varepsilon_{s2} \quad (4)$$

et si $\varepsilon_c > \varepsilon_{ec}$ $V_c = E_c \varepsilon_c$ (5) domaine élastique
 ou si $\varepsilon_c > \varepsilon_{ec}$ $V_c = E_c \varepsilon_{ec} = ciste$ domaine plastique

Domaine élastique :

Diagramme des contraintes



équilibre de la section

$$\frac{1}{2} (b \times d \times e_c) + A_{s2} F_{s2} = A_{s1} F_{s1} \quad (6)$$

relation Fint / Contrainte

$$M_f = \sum M (\delta) / \text{cog arm}$$

$$M_f = \left(d - \frac{1}{3} \alpha d \right) \left(\frac{1}{2} b \times d \times e_c \right) + (d - d_2) A_{s2} F_{s2}$$

$$M_f = (1 - \alpha) \frac{b \times d^2}{2} e_c + (d - d_2) A_{s2} F_{s2} \quad (7)$$

Domaine plastique

Diagramme des contraintes (contraintes accès non représenté)

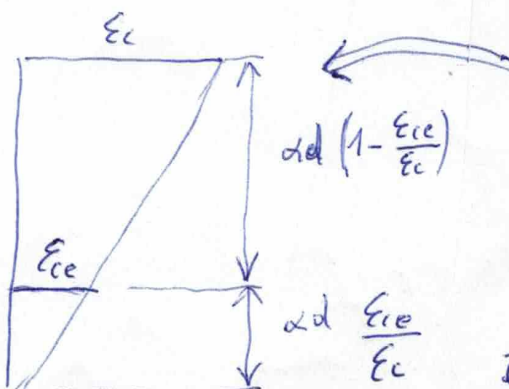
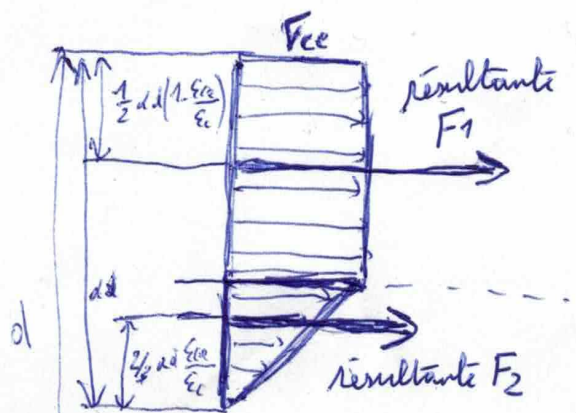
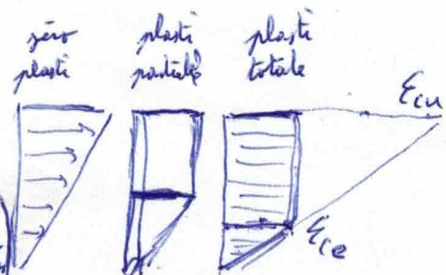


diagramme des déformations nécessaires pour situer la limite zone plastifiée zone non plastifiée

équilibre de la section

cog arm traction

$$F_1 = b \times d \left(1 - \frac{e_c}{e_c} \right) F_{ce} \quad (6')$$

$$F_2 = \frac{1}{2} b \times d \frac{e_c}{e_c} F_{ce}$$

$$b \times d \times F_{ce} \left(1 - 0,5 \frac{e_c}{e_c} \right) + A_{s2} F_{s2} = A_{s1} F_{s1}$$

relation F_{int} / Contrainte

$$M_f = \Sigma M(\sigma) / \text{c. d. g. au n. } S_1$$

$$M_f = M_f(F_1) + M_f(F_2) + (d - d_2) A_{s2} V_{s2}$$

$$M_f = \left[d - \frac{\alpha d}{2} \left(1 - \frac{\varepsilon_{ce}}{\varepsilon_c} \right) \right] b \omega d \left(1 - \frac{\varepsilon_{ce}}{\varepsilon_c} \right) V_{ce} + \left(d - \alpha d + \frac{2}{3} \alpha d \frac{\varepsilon_{ce}}{\varepsilon_c} \right) b \omega \frac{\alpha d}{2} \frac{\varepsilon_{ce}}{\varepsilon_c} V_{ce} + (d - d_2) A_{s2} V_{s2}$$

$$M_f = b \omega d^2 V_{ce} \left[\left[1 - \frac{\alpha}{2} \left(1 - \frac{\varepsilon_{ce}}{\varepsilon_c} \right) \right] \left(1 - \frac{\varepsilon_{ce}}{\varepsilon_c} \right) + \left[1 - \alpha + \frac{2}{3} \alpha \frac{\varepsilon_{ce}}{\varepsilon_c} \right] \frac{\varepsilon_{ce}}{2 \varepsilon_c} \right] + (d - d_2) A_{s2} V_{s2}$$

$$\Rightarrow 1 - \frac{\alpha}{2} + \frac{\alpha}{2} \frac{\varepsilon_{ce}}{\varepsilon_c} + \left(\frac{\alpha}{2} - 1 \right) \frac{\varepsilon_{ce}}{\varepsilon_c} - \frac{\alpha}{2} \left(\frac{\varepsilon_{ce}}{\varepsilon_c} \right)^2 + \left(\frac{1-\alpha}{2} \right) \frac{\varepsilon_{ce}}{\varepsilon_c} + \frac{1}{3} \alpha \left(\frac{\varepsilon_{ce}}{\varepsilon_c} \right)^2$$

$$= (1 - \alpha) + \frac{\varepsilon_{ce}}{\varepsilon_c} \left(\frac{\alpha}{2} + \frac{\alpha}{2} - 1 + \frac{1}{2} - \frac{\alpha}{2} \right) + \left(\frac{1}{3} - \frac{1}{2} \right) \alpha \frac{\varepsilon_{ce}^2}{\varepsilon_c^2}$$

$$= -\frac{\alpha}{6} \left(\frac{\varepsilon_{ce}}{\varepsilon_c} \right)^2 + \frac{\alpha-1}{2} \frac{\varepsilon_{ce}}{\varepsilon_c} + 1 - \alpha$$

$$M_f = b d^2 \omega V_{ce} \left(-\frac{\alpha}{6} \frac{\varepsilon_{ce}^2}{\varepsilon_c^2} + \frac{\alpha-1}{2} \frac{\varepsilon_{ce}}{\varepsilon_c} + 1 - \frac{\alpha}{2} \right) + (d - d_2) A_{s2} V_{s2}$$

(7')

Domaine Plastique Béton et acier : non calculé car presque aucun intérêt de plastifier l'acier car cela fait diminuer α donc sous-utilise le béton

Résolution

données : $\begin{cases} b & h & d & d_2 & A_{s1} & A_{s2} \\ V_{ce} & \varepsilon_{ce} & \varepsilon_c & E_s & & \\ M_f & & & & & \varepsilon_{ce} = \varepsilon_c \varepsilon_{ce} \end{cases}$

inconnues : $\alpha \quad \varepsilon_c \quad \varepsilon_{s1} \quad \varepsilon_{s2} \quad V_c \quad V_{s1} \quad V_{s2}$

équations : déformations (2), élasticité (3), égal (4), F_{int} / F_{ext} (1)

7 équations \Rightarrow 7 inconnues \Rightarrow résolution possible

CALCUL EN DOMAINE ÉLASTIQUE

détermination de α

équations (6) (3) (4) \Rightarrow

$$0,5 b d \times E_c \varepsilon_c = A_{s1} E_s \varepsilon_{s1} - A_{s2} E_s \varepsilon_{s2}$$

équation (1) (2) \Rightarrow

$$(6') \Rightarrow -0,5 b d \times E_c \varepsilon_c + A_{s1} E_s \left(\frac{1}{2} - 1 \right) \varepsilon_c + A_{s2} E_s \left(1 - \frac{d_2}{d_1} \right) \varepsilon_c = 0$$

$$\Leftrightarrow -0,5 b d \times E_c + A_{s1} E_s \left(\frac{1}{2} - 1 \right) - A_{s2} E_s \left(1 - \frac{d_2}{d_1} \right) = 0$$

$$\Leftrightarrow -0,5 b d E_c \alpha^2 + (A_{s1} E_s - A_{s2} E_s) \alpha + A_{s1} E_s + A_{s2} E_s \frac{d_2}{d_1} = 0$$

$$\Leftrightarrow -0,5 b d \frac{E_c}{E_s} \alpha^2 + (A_{s1} + A_{s2}) \alpha - (A_{s1} + A_{s2}) \frac{d_2}{d_1} = 0$$

$$\frac{0,5 b d E_c}{(A_{s1} + A_{s2}) E_s} \alpha^2 + \alpha - \frac{A_{s1} + A_{s2} \frac{d_2}{d_1}}{A_{s1} + A_{s2}} = 0$$

(alpha)

$$\Delta = 1^2 - 4 \left(\frac{0,5 b d E_c}{(A_{s1} + A_{s2}) E_s} \right) \left(- \frac{A_{s1} + A_{s2} \frac{d_2}{d_1}}{A_{s1} + A_{s2}} \right)$$

$$\alpha = \frac{-1 + \sqrt{\Delta}}{2 \times \frac{0,5 b d E_c}{(A_{s1} + A_{s2}) E_s}}$$

α est indépendant de la charge en domaine élastique fonction uniquement des proportions acier béton

détermination de ε_c puis ε_{s1} , ε_{s2} ε_c ε_{s1} ε_{s2}

$$(7) \Rightarrow M_f = \left(1 - \frac{\alpha}{3} \right) E_c \varepsilon_c \frac{b d \alpha^2}{2} + (d - d_2) E_s A_{s2} \left(1 - \frac{d_2}{d_1} \right) \varepsilon_c$$

$$\varepsilon_c = M_f / \left[\left(1 - \frac{\alpha}{3} \right) E_c \frac{b d \alpha^2}{2} + (d - d_2) E_s A_{s2} \left(1 - \frac{d_2}{d_1} \right) \right]$$

CALCUL EN DOMAINE PLASTIQUE

Differentiellement au domaine élastique, α ne se calcule pas indépendamment de M_f , on est en présence de deux équations du second degré imbriquées, la résolution trop fastidieuse sera traitée de façon assistée.

Des 2 équations de départ, il faut aboutir à deux équations

$$\varepsilon_c = f(\alpha) \quad \text{et} \quad M_f = f(\alpha, \varepsilon_c)$$

\nwarrow données

on se donne des valeurs successives de α et on calculera ε_c et M_f .
après analyse des résultats trouvés de M_f , on retrouvera le bon α .

$$(6') \Rightarrow b \cdot d \cdot \Gamma_{ce} \left(1 - 0,5 \frac{\varepsilon_{ce}}{\varepsilon_c}\right) + A_{s2} \Gamma_{s2} = A_{s1} \Gamma_{s1}$$

$$\begin{matrix} (3) \\ (4) \end{matrix} \Rightarrow \begin{matrix} \xrightarrow{(4)} \\ \xrightarrow{(2)} \end{matrix} A_{s1} E_s \left(\frac{1}{\alpha} - 1\right) \varepsilon_c - A_{s2} E_s \left(1 - \frac{d_2}{d \alpha}\right) \varepsilon_c = b \cdot d \cdot \Gamma_{ce} \left(1 - 0,5 \frac{\varepsilon_{ce}}{\varepsilon_c}\right)$$

$$(8) \Rightarrow \frac{\left[A_{s1} \left(\frac{1}{\alpha} - 1\right) - A_{s2} \left(1 - \frac{d_2}{d \alpha}\right)\right] E_s \varepsilon_c^2 - \varepsilon_c + \left(0,5 \varepsilon_{ce}\right)}{b \cdot d \cdot \Gamma_{ce}} = 0$$

α

$$\varepsilon_c = \frac{-(-1) + \sqrt{(-1)^2 - 4 \left(0,5 \varepsilon_{ce}\right) \alpha}}{2 \alpha}$$

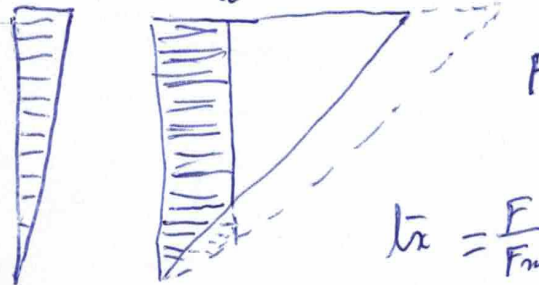
$$(7) \Rightarrow M_f = b \cdot d^2 \cdot \Gamma_{ce} \left(-\frac{1}{6} \frac{\varepsilon_{ce}^2}{\varepsilon_c^2} + \frac{\alpha - 1}{2} \frac{\varepsilon_{ce}}{\varepsilon_c} + 1 - \frac{\alpha}{2}\right) + (d - d_2) A_{s2} E_s \times$$

$\sqrt{\left(1 - \frac{d_2}{d \alpha}\right) \varepsilon_c}$

Définition d'un taux de charge en plastification béton

$\lambda_a = 54\%$ on l'approximera à la somme des contraintes dans le béton

$$\varepsilon_c = \varepsilon_e \quad \varepsilon_{ce} = 100\% \text{ si } \varepsilon_c = \varepsilon_{cu}$$



$$F = b \times d \times \varepsilon_{ce} \left(1 - 0,5 \frac{\varepsilon_{ce}}{\varepsilon_c} \right) \quad F_{max} = f(\varepsilon_{cu})$$

$$\lambda_a = \frac{F}{F_{max}} = \frac{1 - 0,5 \frac{\varepsilon_{ce}}{\varepsilon_c}}{1 - 0,5 \frac{\varepsilon_{ce}}{\varepsilon_{cu}}}$$

à la limite élastique le taux va être $\frac{0,5}{1 - 0,5 \times \frac{0,584}{3,5}} = 54\%$

LIMITES SUPERIEURES DU DOMAINE ELASTIQUE

CALCUL EN ETAT LIMITÉ ELASTIQUE BETON

Pour déterminer dans quel état de sollicitation on se trouve : plastique ou élastique, il est nécessaire de déterminer le chargement qui fait basculer en état plastique.

Note : λ étant indépendant du chargement en zone élastique on utilise $\lambda = \lambda_0$ déjà calculé

cas limitants

M_f maxi acier traction en domaine élastique

$$\varepsilon_{s1} = \varepsilon_{se} \text{ et } f_{s1} = f_{se}$$

$$M_f = \left(1 - \frac{\lambda}{3}\right) E_c b \frac{\lambda d^2}{2} \frac{\varepsilon_{se}}{\left(\frac{1}{\lambda} - 1\right)} + (d - d_2) E_s A_{s2} \left(1 - \frac{d_2}{\lambda d}\right) \frac{\varepsilon_{se}}{\left(\frac{1}{\lambda} - 1\right)}$$

M_f maxi acier compression en domaine élastique

$$\varepsilon_{s2} = \varepsilon_{se} \quad \varepsilon_c = \frac{1}{1 - \frac{d_2}{\lambda d}} \varepsilon_{se}$$

$$M_f = \left[\left(1 - \frac{\lambda}{3}\right) E_c b \frac{\lambda d^2}{2} + (d - d_2) E_s A_{s2} \left(1 - \frac{d_2}{\lambda d}\right) \right] \frac{\varepsilon_{se}}{\left(\frac{1}{\lambda} - 1\right)} \frac{1}{1 - \frac{d_2}{\lambda d}} \varepsilon_{se}$$

Détors limitant

M_f maxi béton en domaine élastique

$$\varepsilon_c = \varepsilon_{ce}$$

$$M_f = \left[\left(1 - \frac{\lambda}{3}\right) E_c b \frac{\lambda d^2}{2} + (d - d_2) E_s A_{s2} \left(1 - \frac{d_2}{\lambda d}\right) \right] \varepsilon_{ce}$$

calcul de ε_c en domaine élastique

éq n° 4

LIMITES SUPERIEURES DU DOMAINE PLASTIQUE

8

CALCUL EN ETAT LIMITE PLASTIQUE BETON

beton limitant

$$\varepsilon_c = \varepsilon_{cu} = 3,5 \cdot 10^{-3} \quad \sigma_c = \sigma_{uc} = 18,16 \text{ MPa}$$

$$\text{equil} \quad A_{s1} \sigma_{s1} - A_{s2} \sigma_{s2} = b d \alpha \sigma_{co} \left(1 - 0,5 \frac{\varepsilon_{co}}{\varepsilon_{cu}}\right)$$

$$A_{s1} E_s \left(\frac{1}{2} - 1\right) \varepsilon_{cu} - A_{s2} E_s \left(1 - \frac{d\varepsilon}{dx}\right) \varepsilon_{cu} = b d \alpha \sigma_{co} \left(1 - 0,5 \frac{\varepsilon_{co}}{\varepsilon_{cu}}\right)$$

$$A_{s1} \left(\frac{1}{2} - 1\right) - A_{s2} \left(1 - \frac{d\varepsilon}{dx}\right) = \frac{b d \sigma_{co}}{E_s \varepsilon_{cu}} \left(1 - 0,5 \frac{\varepsilon_{co}}{\varepsilon_{cu}}\right) \alpha$$

$$A_{s1} - A_{s1} \alpha - A_{s2} \alpha + A_{s2} \frac{d\varepsilon}{dx} = \dots \alpha^2$$

$$(A_{s1} + A_{s2} \frac{d\varepsilon}{dx}) - (A_{s1} + A_{s2}) \alpha = \dots \alpha^2$$

$$\underbrace{\frac{b d \sigma_{co} \left(1 - 0,5 \frac{\varepsilon_{co}}{\varepsilon_{cu}}\right)}{E_s \varepsilon_{cu} (A_{s1} + A_{s2})} \alpha^2}_{\alpha} + \alpha - \underbrace{\frac{A_{s1} + A_{s2} \frac{d\varepsilon}{dx}}{A_{s1} + A_{s2}}} = 0$$

$$\frac{\alpha}{\alpha} = \frac{-1 + \sqrt{1^2 + 4 \alpha \left(\frac{A_{s1} + A_{s2} \frac{d\varepsilon}{dx}}{A_{s1} + A_{s2}} \right)}}{2 \alpha}$$

$$\star \begin{cases} \text{ddominis} \\ \varepsilon_c \end{cases} \stackrel{(7)}{\Rightarrow} Mf = \dots \text{ valeur possible}$$

acier limitant

CALCUL EN LIMITE ACIER ELASTIQUE ET BETON PLASTIQUE

traction longitudinale \rightarrow valeur limite

CHARGES DE REFERENCE

* Mf? si 4% acier en élastique $\varepsilon_c = \varepsilon_{ce}$

S acier important... pas de risque de limitation par E_s

(6') $\Leftrightarrow \alpha = \text{après calcul de } \Delta \text{ voir p}4$

en prenant $A_{s1} = 0,04 \text{ dh}$

$$(7) \Rightarrow M_f = (1 - \alpha/3) \frac{\alpha b d^2}{2} \sqrt{\varepsilon_{ce}} + (d - d_2) A_{s2} E_s \left(1 - \frac{d_2}{\alpha d}\right) \varepsilon_{ce}$$

* Mf? si 4% acier en domaine plastique $\varepsilon_c = \varepsilon_{cu}$

éq. n°9 $\Leftrightarrow \alpha = \text{après calcul de } \Delta$
en prenant $A_{s1} = 0,04 \text{ dh}$

* Mf? si limitation acier au maxi, béton au maxi

$$\varepsilon_{s1} = \varepsilon_{ce}$$

$$\varepsilon_c = \varepsilon_{cu}$$

$$\varepsilon_{se} = \left(\frac{1}{2} - 1\right) \varepsilon_{cu} \Leftrightarrow \varepsilon_{se} = \varepsilon_c - \alpha \varepsilon_{cu} \Leftrightarrow \alpha = \frac{\varepsilon_{cu}}{\varepsilon_{se} - \varepsilon_{cu}}$$

$$\alpha = 0,617$$

$$(6') \Rightarrow b \times d \sqrt{\varepsilon_{cu}} \left(1 - 0,5 \frac{\varepsilon_{ce}}{\varepsilon_{cu}}\right) + A_{s2} E_s \left(1 - \frac{d_2}{\alpha d}\right) \varepsilon_{cu} = A_{s1} \sqrt{\varepsilon_{ce}} \Rightarrow A_{s1} =$$

$$(7') \Rightarrow M_f =$$

ε_{se}

R l'acier en compression est plastifié

SECTIONS DE REFERENCE

10

* Section minimale pour rester en domaine élastique
béton limitant béton: $\varepsilon_c = \varepsilon_{ce}$

$$[7] M_f = (1 - \alpha_3) E_c b \alpha \frac{d^2}{2} \varepsilon_c + (d - d_2) A_{s2} E_s \varepsilon_{s2}$$

$$\frac{M_f}{\varepsilon_{ce}} = (1 - \alpha_3) E_c b \alpha \frac{d^2}{2} + (d - d_2) A_{s2} E_s (1 - \frac{d_2}{\alpha d})$$

$$\frac{M_f \alpha}{\varepsilon_{ce}} = (1 - \alpha_3) E_c b \alpha^2 \frac{d^2}{2} + (d - d_2) A_{s2} E_s (\alpha - \frac{d_2}{d})$$

$$E_c b \frac{d^2}{2} \left(\alpha^2 - \frac{\alpha^3}{3} \right) + \left[(d - d_2) A_{s2} E_s - \frac{M_f}{\varepsilon_{ce}} \right] \alpha - (d - d_2) A_{s2} E_s \frac{d_2}{d} = 0$$

$$- \frac{E_c b d^2}{6} \alpha^3 + \frac{E_c b d^2}{2} \alpha^2 + \left((d - d_2) A_{s2} E_s - \frac{M_f}{\varepsilon_{ce}} \right) \alpha - (d - d_2) A_{s2} E_s \frac{d_2}{d} = 0$$

equ 3° degré $\alpha = \dots$

$$A_{s1} = \left[\frac{1}{2} b d \varepsilon_{ce} + A_{s2} E_s \left(1 - \frac{d_2}{d_1} \right) \varepsilon_{ce} \right] / E_s \left(\frac{1}{\alpha} - 1 \right) \varepsilon_{ce}$$

Sections pour isosollicitation

CALCUL EN ISO~~SOLILITATION~~ BETON ACIER ELASTIQUE

$\varepsilon_{smin} = ?$

$$\frac{\varepsilon_c}{\varepsilon_{ce}} = \frac{\varepsilon_{s1}}{\varepsilon_{se}} \quad \text{et} \quad \frac{\varepsilon_c}{\varepsilon_{ce}} = \frac{\varepsilon_{s2}}{\varepsilon_{se}} \quad \left. \begin{array}{l} \\ \end{array} \right\} \quad \frac{1}{\alpha} - 1 = \frac{\varepsilon_{se}}{\varepsilon_{ce}} \Rightarrow \frac{1}{\alpha} = \frac{\varepsilon_{se} + 1}{\varepsilon_{ce}}$$

$$(1) \quad \varepsilon_{s1} = \left(\frac{1}{\alpha} - 1 \right) \varepsilon_{ce} \quad \left. \begin{array}{l} \\ \end{array} \right\} \quad \alpha = 1 / \left(\frac{\varepsilon_{se}}{\varepsilon_{ce}} + 1 \right)$$

$$A_{s1} = \left[0,5 b d \varepsilon_c + A_{s2} E_s \left(1 - \frac{d_2}{d_1} \right) \varepsilon_{ce} \right] / \left[E_s \frac{\varepsilon_{se}}{\varepsilon_{ce}} \left(\frac{1}{\alpha} - 1 \right) \right]$$

* Section minimale pour rester en domaine

$$\varepsilon_c = \varepsilon_{se} / \frac{1}{2} - 1 = \varepsilon_{se} \frac{\alpha}{1-\alpha}$$

élastique acier limitant $\varepsilon_{se} = \varepsilon_e$

$$\varepsilon_c = \varepsilon_{se} \frac{\alpha}{1-\alpha}$$

$$M_f = \left[\left(1 - \frac{\alpha}{3} \right) E_c b \alpha \frac{d^2}{2} + (d - d_2) A_{s2} E_s \left(1 - \frac{d_2}{\alpha d} \right) \right] \varepsilon_{se} \frac{\alpha}{1-\alpha}$$

$$\frac{1-\alpha}{\alpha} \frac{M_f}{\varepsilon_{se}} = \left[\dots \right]$$

$$\frac{M_f}{\varepsilon_{se}} - \alpha \frac{M_f}{\varepsilon_{se}} = \left(1 - \frac{\alpha}{3} \right) E_c b \frac{d^2}{2} \alpha^2 + (d - d_2) A_{s2} E_s \alpha - (d - d_2) A_{s2} E_s \frac{d_2^2}{\alpha d}$$

$$- \frac{E_c b d^2}{6} \alpha^3 + \frac{E_c b d^2}{2} \alpha^2 + \left[\frac{M_f}{\varepsilon_{se}} + (d - d_2) A_{s2} E_s \right] \alpha - \left[\frac{M_f}{\varepsilon_{se}} + (d - d_2) A_{s2} E_s \frac{d_2^2}{\alpha d} \right] = 0$$

équation 3^{ème} degré $\Rightarrow \alpha = \dots$

$$A_{s1} = \left[\frac{1}{2} b d \alpha E_c \frac{\varepsilon_{se}}{\varepsilon_{se}} + A_{s2} E_s \left(1 - \frac{d_2}{\alpha d} \right) \right] \left(\frac{\varepsilon_{se}}{\frac{1}{2} - 1} \right) / \varepsilon_{se}$$

$$A_s = \left[\frac{1}{2} b d \alpha E_c + A_{s2} E_s \left(1 - \frac{d_2}{\alpha d} \right) \right] / \left[E_s \left(\frac{1}{2} - 1 \right) \right]$$

* Section pour isosollicitation Acier et Béton en domaine

plastique

$$\frac{\varepsilon_m}{\varepsilon_{se}} = \frac{1 - 0,5 \frac{\varepsilon_{se}}{\varepsilon_c}}{1 - 0,5 \frac{\varepsilon_{se}}{\varepsilon_m}} \quad \left\{ \Rightarrow f(\alpha, \varepsilon_c) = 0 \right.$$

$$\varepsilon_m = \left(\frac{1}{\alpha} - 1 \right) \varepsilon_c$$

$$(1) \text{ admet équilibre } \left\{ g(\alpha, A_s, \varepsilon_c) = 0 \right.$$

$$(2) \text{ admet } M_f \left\{ h(\alpha, \varepsilon_c) = 0 \right.$$

3 équations - 3 inconnues

rend possible mais instable

too acute
 \Rightarrow ABANDON

Section minimale d'acier pour solliciter au maxi l'acier en domaines plastique

$$\varepsilon_{r1} = \varepsilon_{re}$$

$$\varepsilon_c = \frac{\varepsilon_{re}}{\gamma_d - 1}$$

$$\text{equ 7} \quad M_f = \dots$$

$$M_f = f(\lambda)$$

fonction
polynôme
de degré 4

\Rightarrow résolution assistée

$$\lambda = \dots$$

$$A_s = \frac{b d \alpha \sqrt{\varepsilon_{re}} \left(1 - 0,5 \frac{\varepsilon_{re}}{\varepsilon_{re}} (1/\lambda - 1) \right) + A_{s2} E_s \left(1 - \frac{d \lambda}{\alpha d} \right) \varepsilon_{re}}{\sqrt{\gamma_d - 1}}$$

CALCUL EN DOMAINE PLASTIQUE BETON

PLASTIQUE ACIER comp ELASTIQUE ACIER TRAC

$$\Gamma_c = \Gamma_{ce} \text{ et } \Gamma_{d2} = \Gamma_{se}$$

auquel risque de $\varepsilon_{d2} > \varepsilon_{su}$ car $\varepsilon_u \gg \varepsilon_{su}$ et car S_2 est proche au haut de la pointe

$$M(1) \Rightarrow$$

$$P^2(6') \Rightarrow b \times d \Gamma_{ce} \left(1 - 0,5 \frac{\varepsilon_{ce}}{\varepsilon_c} \right) + A_{s2} \Gamma_{se} = A_s E_s \left(\frac{1}{2} - 1 \right) \varepsilon_c$$

$$- A_s E_s \left(\frac{1}{2} - 1 \right) \varepsilon_c^2 + \left(b \times d \Gamma_{ce} + A_{s2} \Gamma_{ce} \right) \varepsilon_c - \frac{b \times d \Gamma_{ce} \varepsilon_{ce}}{2} = 0$$

$$\frac{A_s \left(\frac{1}{2} - 1 \right) E_s}{b \times d \Gamma_{ce} + A_{s2} \Gamma_{ce}} \varepsilon_c^2 - \varepsilon_c + 0,5 \varepsilon_{ce} \frac{\cancel{b \times d \Gamma_{ce}}}{\cancel{b \times d \Gamma_{ce}} + \cancel{A_{s2} \Gamma_{ce}}} = 0$$

$$\varepsilon_c = \frac{-(-1) + \sqrt{(-1)^2 - 4 \cdot 0,5 \varepsilon_{ce}}}{2a}$$

$$P^3(7) \Rightarrow M_f = b \times d^2 \times \Gamma_{ce} \left(-\frac{\alpha}{6} \left(\frac{\varepsilon_{ce}}{\varepsilon_c} \right)^2 + \frac{\alpha-1}{2} \left(\frac{\varepsilon_{ce}}{\varepsilon_c} \right) + 1 - \frac{\alpha}{2} \right) + (d-d_2) A_{s2} \Gamma_{se}$$

14

LIMITES SUPERIEURES DU DOMAINE PLASTIQUE

ETENDU (Plastification de l'acier en comp.)

Béton limitant $\varepsilon_c = \varepsilon_{cu}$

$$\gamma 15 \Rightarrow b \cdot d \cdot \Gamma_{ce} \left(1 - 0,5 \frac{\varepsilon_c}{\varepsilon_{cu}}\right) + A_{s2} \Gamma_{se} = A_{s1} E_s \left(\frac{1}{2} - 1\right) \varepsilon_{cu}$$

$$b \cdot d \Gamma_{ce} \left(1 - 0,5 \frac{\varepsilon_c}{\varepsilon_{cu}}\right) \alpha^2 + A_{s2} \Gamma_{se} + A_{s1} E_s \varepsilon_{cu} \alpha - A_{s1} E_s \varepsilon_{cu} = 0$$

$$\frac{b \cdot d \Gamma_{ce} \left(1 - 0,5 \frac{\varepsilon_c}{\varepsilon_{cu}}\right)}{A_{s2} \Gamma_{ce} + A_{s1} E_s \varepsilon_{cu}} \alpha^2 + \alpha = \frac{1}{1 + \frac{A_{s2} \Gamma_{se}}{A_{s1} E_s \varepsilon_{cu}}} = 0$$

$$\alpha = \frac{-1 + \sqrt{1^2 - 4 \alpha \left(1 + \frac{A_{s2} \Gamma_{se}}{A_{s1} E_s \varepsilon_{cu}}\right)}}{2 \alpha}$$

$$\gamma 15 \Rightarrow M_f = b \cdot d^2 \cdot \Gamma_{ce} \left[-\frac{\alpha}{2} \left(\frac{\varepsilon_{ce}}{\varepsilon_{cu}} \right)^2 + \frac{\alpha - 1}{2} \left(\frac{\varepsilon_{ce}}{\varepsilon_{cu}} \right) + 1 - \frac{\alpha}{2} \right] + (d - d_2) A_{s2} \Gamma_{se}$$

CALCUL DE LA FLECHE EN DOMAINE

15

ELASTIQUE

Rappel poutre tige

notion $\frac{f}{y} = \frac{M_f(\frac{l}{2})}{I} y$ et $f(\frac{l}{2}) = \frac{P l^3}{48 EI}$

$$\Rightarrow \epsilon(y) = \frac{M_f(\frac{l}{2})}{E I} y \quad \epsilon_{max} = \frac{M_f(\frac{l}{2})}{E I} \left(\frac{d}{2}\right)$$

ϵ est fonction linéaire de y (M_f , E et I sont constantes) variant le long dx)

Cas de la poutre béton

en domaine élastique ϵ est également linéaire dans

$$(1) \text{ pt } \epsilon_c = M_f / [(1-\alpha) E_c \frac{b d^2}{2} + (d-d_2) E_s A_s \left(1 - \frac{d^2}{d}\right)]$$

environ $\epsilon_c = \frac{M_f}{E I'}$ $\frac{d^2}{2}$ inertie équivalente

$$\Rightarrow \frac{f}{y} = \frac{E_c I'}{2 d}$$

$$I' = \frac{\alpha d}{E_c} \left[(1-\alpha) E_c \frac{b d^2}{2} + (d-d_2) E_s A_s \left(1 - \frac{d^2}{d}\right) \right]$$

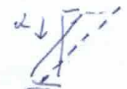
$$\Rightarrow f = \frac{5 q l^4}{384 E I}$$

$$f = \frac{q l^2}{8} \frac{5 l^2}{48}$$

pour le domaine plastique, on peut approximer la flèche en adoptant une rigidité égale au domaine élastique

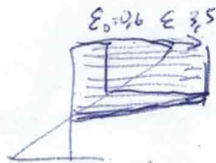
REMARQUE: AUGMENTATION DU TRAVAIL DU BÉTON PAR PLASTIFICATION

- 16
- si l'on reste dans le domaine élastique, une proportion ainc, béton permet de faire travailler l'acier et le béton au maxi, sauf que avec le béton, seule la fibre supérieure est au maxi et seul $0,2 \times$ hauteur de la gouttière^{béton} est sollicitée en compression et l'on utilise beaucoup de béton $\frac{1}{2}$ section d'acier utilisé pour

Comment augmenter Δ ?: 

→ mettre plus d'acier rigifie la partie inférieure, cela a donc tendance à faire descendre la ligne neutre et donc à faire plus travailler le béton

→ "dépasser un peu" la contrainte de béton pour le plastifier et passer de $\varepsilon_c = 6 \cdot 10^{-4}$ à $3,5 \cdot 10^{-3}$ soit 7 fois plus de déformation
Si plastification alors diagramme de répartition des contraintes plus favorable:

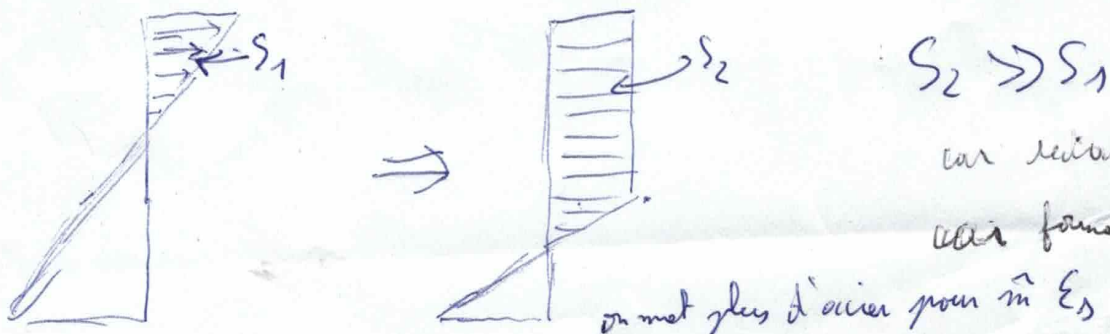


→ gain en effet triangle → rectangle

→ gain en zone de travail & plus grand

mais changer l'acier il ne pds

autant ne pas plastifier l'acier, on ne gagne rien



car rectangle au lieu
de triangle
une forme plus haute

on met plus d'acier pour un E_s